

# The Fundamental Group of Small Cover

2017 年 8 月 1 日

## 目录

<b>1</b>	<b>Introduction</b>	<b>1</b>
1.1	Small Cover . . . . .	1
1.2	Examples . . . . .	3
<b>2</b>	<b>Dual Cell Structure</b>	<b>5</b>
2.1	Constructions . . . . .	5
2.2	Calculation and Example . . . . .	7
2.3	Connection with Group of Deck Transformation . . . . .	9
<b>3</b>	<b>Perfect Cell Structure</b>	<b>10</b>
3.1	Morse Theory . . . . .	10
3.2	Morse Function Acts on Small Covers . . . . .	10
3.3	Calculation and Example . . . . .	11
3.4	Balance Representation and Heegaard Diagram of 3-Small Cover . . . . .	20
<b>4</b>	<b>the Fundamental Group of Product and Connected Sum of Polytopes</b>	<b>20</b>
4.1	$\pi_1(M_{P_1^n \# P_2^n})$ . . . . .	20
4.2	$\pi_1(M_{P_1^{n_1} \times P_2^{n_2}})$ . . . . .	24
<b>5</b>	<b>Aplication</b>	<b>26</b>
5.1	Cube . . . . .	26
5.2	flag . . . . .	26

5.3	else . . . . .	28
<b>6</b>	<b>Appendix</b>	<b>28</b>
6.1	Group Actions and Transformation Groups . . . . .	28
6.2	Orbifold . . . . .	29
6.3	covering oribifold . . . . .	29
6.4	covering space . . . . .	31
6.5	Reidemeister - Schreier program . . . . .	31
6.6	一个比较复杂的例子 . . . . .	31

# 1 Introduction

## 1.1 Small Cover

凸多面体  $P$  是指  $\mathbb{R}^n$  中非空有限个点集的凸包, 或者等价的是由  $\mathbb{R}^n$  中有限个半空间的有界交, 即

$$P = \text{conv}\{p_1, p_2, \dots, p_\ell\} = \{x \in \mathbb{R}^n : \langle l_i, x \rangle \geq -a_i, i = 1, 2, \dots, m\}$$

其中  $l_i$  为  $(\mathbb{R}^n)^*$  中的线性函数,  $a_i \in \mathbb{R}$ .

凸多面体的维数就是指凸包或者有界交的维数。若无特殊说明, 本文中的所考虑的  $n$  维多面体均指  $\mathbb{R}^n$  中的  $n$  维凸多面体, 记为  $P^n$ ,  $P$  的边界记为  $K$ . 另外我们把  $P$  的内部记为  $P^\circ$ . 凸子集  $F \subset P$  称为  $P$  的面, 若  $F$  是多面体  $P$  与某一个半空间  $V = \{x \in \mathbb{R}^n : \langle l, x \rangle \geq -a\}$  的交, 且  $P^\circ \cap \partial V = \emptyset$ . 子集  $\emptyset$  和  $P$  本身都为  $P$  的面, 称为平凡面; 其他的面称为真面.  $P$  的 0 维面称为  $P$  的顶点,  $P$  的 1 维面称为  $P$  的边,  $P$  的  $n-1$  维面称为  $P$  的 *facet*. 记  $f_i$  为  $P$  的  $i$  维面的个数, 称  $\mathbf{f}(P) = (f_0, f_1, \dots, f_{n-1})$  为  $P$  的  $f$ -vector. 取  $f_{-1} = 1$ , 则  $P$  的  $h$ -vector  $(h_0, h_1, \dots, h_n)$  由下面等式定义

$$h_0 t^n + \dots + h_{n-1} t + h_n = (t-1)^n + f_0(t-1)^{n-1} + \dots + f_{n-1}$$

由 Dehn-Sommerville 关系知  $h_i = h_{n-i}, i = 0, 1, \dots, n$ , 为方便我们统一将  $P$  的 facets 的个数记为  $f_{n-1} = m$ , 即  $P^n$  的 facets 集为  $\mathcal{F} = \{F_1, F_2, \dots, F_m\}$ ; 把  $h_1 = h_{n-1}$  记为  $\kappa$ , 把  $h_2 = h_{n-2}$  记为  $\omega$ .

称多面体  $P^n$  是单的, 若  $P^n$  的每个顶点恰好是  $P$  中  $n$  个 facets 的交, 等价地, 每个顶点处恰好有  $n$  条边. 单多面体中任意余维数为  $k$  的面  $F$  总

可以 (唯一) 表示为  $F = F_1 \cap F_2 \cap \cdots \cap F_k$ , 其中  $F_1, F_2, \dots, F_k$  为包含  $F$  的 facets.

取  $\mathbb{Z}_2 = \{1, -1\}$  为二元乘法群或者模空间,  $\mathbb{Z}_2^n$  表示它们的乘积,  $e_i$  表示第  $i$  个标准向量. 设  $P^n$  为  $n$  维单凸多面体,  $\mathcal{F}$  为  $P^n$  的 facets 集, 对每一个 facet  $F_i \subset \mathcal{F}$ , 定义一个染色  $\lambda(F_i) \in \mathbb{Z}_2^n$ , 使得对  $P^n$  的每一个顶点  $p = F_1 \cap F_2 \cap \cdots \cap F_n$ , 满足  $\text{span}\{\lambda(F_1), \lambda(F_2), \dots, \lambda(F_n)\} \cong \mathbb{Z}_2^n$  (对任意多面体, 这样的染色不一定存在). 对任意点  $x \in P$ , 记  $F(x)$  为  $P^n$  中包含  $x$  为相对内点的唯一的面, 例如  $x$  为  $P^n$  内部的点时, 则  $F(x) = P^n$ ;  $x$  为  $P^n$  的顶点时, 则  $F(x) = F_1 \cap F_2 \cap \cdots \cap F_n$ , 其中  $\{F_1, F_2, \dots, F_n\}$  为点  $x$  附近的  $n$  个 facets. 不妨设  $F(x) = F_1 \cap F_2 \cap \cdots \cap F_k$ , 记  $G_{F(x)} = \text{span}\{\lambda(F_1), \lambda(F_2), \dots, \lambda(F_k)\} = \text{span}\{\lambda(F_i) : x \in F_i\}$ .

则构造 *small cover* 为

$$M_P^n = (P^n \times \mathbb{Z}_2^n) / \sim$$

$(x, g) \sim (y, h)$  当且仅当  $x = y, g^{-1}h \in G_{F(x)}$

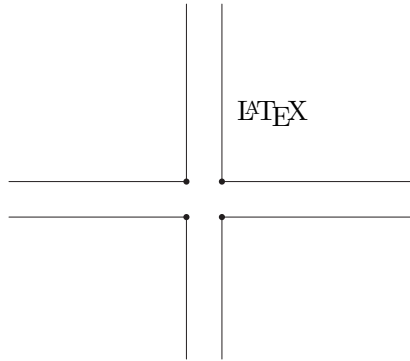
设  $\pi : M_P \rightarrow P$  为一个自然的投射. 事实上, 将  $P^n \cong \mathcal{R}/\mathbb{Z}_2^n$  看为 orbifold, 则 *small cover* 是一个 right-angle Coxeter orbifold, 局部同构 orbifold  $\mathcal{R}/\mathbb{Z}_2^n$ , 映射  $\pi : M_P \rightarrow P$  是  $P$  上的一个正则的 orbifold covering,  $\mathbb{Z}_2^n$  是它的 covering transformation group.

**命题 1.1** *small cover* 为连通闭流形.

**证明:** *convex polytope, coxeter orbifolds and torus action* 性质 1.7

$\lambda : \mathcal{F} \rightarrow \mathbb{Z}_2^n$  称为 *small cover*  $M_P$  的示性函数.

**定义 1** *facets-pair structure of X*.



若连通拓扑空间  $X$  可由若干个单凸多面体  $\{P_l^n : l = 1, 2, \dots, N\}$  粘合而成, 我们记  $P_l$  的第  $i$  个 facet  $F_i$  为  $F_{i,l}$ , 并且满足下面两个条件:

1、任意 facet  $F_{i,l_1}$  唯一配对  $F_{j,l_2}$  且存在一个同痕  $\tau_{i,l_1} : F_{i,l_1} \longrightarrow F_{j,l_2}$  与  $\tau_{j,l_2} : F_{j,l_2} \longrightarrow F_{i,l_1}$  使得  $\tau_{i,l_1} = \tau_{j,l_2}^{-1}$ , 我们称  $\hat{F} = \{F_{i,l_1}, F_{j,l_2}\}$  为一个 facet 对, 称  $F_{j,l_2}$  为  $F_{i,l_1}$  的对 facet

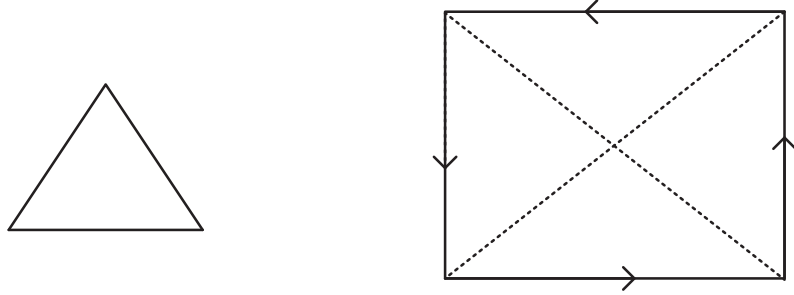
2、对任意余二维面  $f = F_{i_1,l_1} \cap F_{i_2,l_1}$ , 如果  $\tau_{i_1,l_1}(f) = F_{j_1,l_2} \cap F_{j_3,l_2}$ ,  $\tau_{i_2,l_1}(f) = F_{j_2,l_4} \cap F_{j_4,l_4}$ , 则  $\tau_{j_3,l_2} \tau_{i_1,l_1}(f) = \tau_{j_4,l_4} \tau_{i_2,l_1}(f) = F_{i_3,l_3} \cap F_{i_4,l_3}$ . 这里不排除  $F_{j_2,l_4} = F_{j_3,l_2}$  或者  $F_{i_2,l_1} = F_{i_3,l_3}$ .

则我们称  $\mathcal{S} = \{\hat{F}_{i,l}, \tau_{i,l}\}$  为  $\{P_l^n\}$  上的一个 facets-pairing structure,  $\tau_{i,l_1} : F_{i,l_1} \longrightarrow F_{j,l_2}$  为  $\mathcal{S}$  的 structure map. 记一步, 若  $X$  为闭的, 我们称  $\mathcal{S}$  是  $M_P$  的一个完全的 facets-pairing structure

事实上,  $\mathcal{F}$  上的示性函数  $\lambda : \mathcal{F} \longrightarrow \mathbb{Z}_2^n$  决定了  $M_P$  上的一个配对结构. 多面体  $(P^n, g)$  的 facets  $F_i$  与多面体  $(P^n, h)$  的 facets  $F_j$  相粘, 当且仅当  $F_i = F_j, \lambda(F_i)^{-1} \lambda(F_j) = g^{-1}h$ . 反之, 若知道  $\{P_l^n : l = 1, 2, \dots, N\}$  上的一个完全配对结构, 我们也可以构造  $M_P$ .

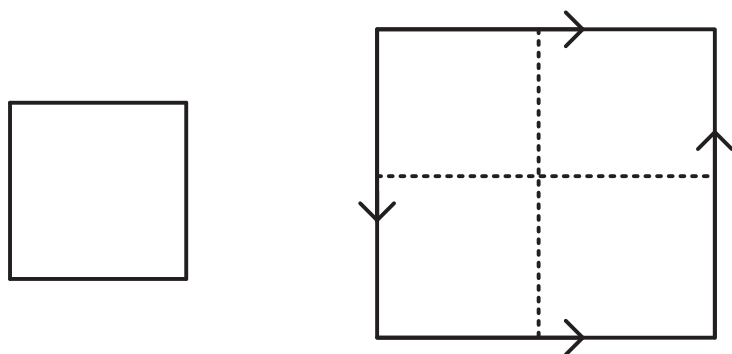
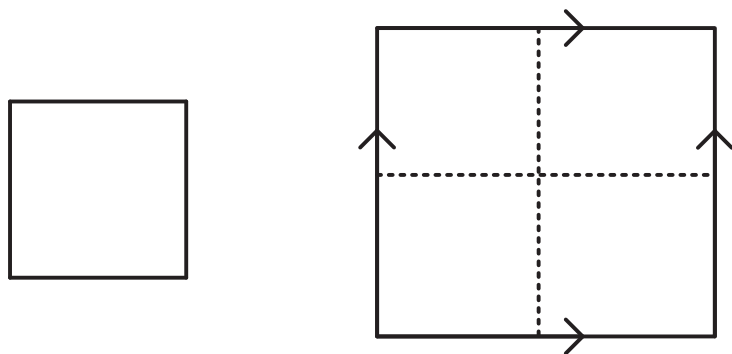
## 1.2 Examples

例 1 当  $P^n = \triangle^n$  时,  $\mathcal{F}$  上本质上只有一种染色, 如  $n = 2$  时,



先将  $P$  在一个点处粘, 得到一个大四边形, 由染色信息知它的对边沿着箭头方向粘, 这是一个  $\mathcal{RP}^2$ .

例 2 当  $P^2 = I^2$  时,  $\mathcal{F}$  上有下面两种不同的染色,



同样的操作，我们可以分别得到  $T^2$  和 *Klein bottle*.

**例 3** ( $P^2$  是一个  $m$  边形时)

$M_P$  是由 4 个  $m$ -gon 沿边粘成的曲面，所以  $M_P$  的欧拉数为  $\chi(M_P) = 4 - m$ . 当  $m$  为奇数时， $M_P$  为  $m - 2$  个  $\mathcal{R}P^2$  的连通和；当  $m$  为偶数时， $M_P$  为  $m - 2$  个  $\mathcal{R}P^2$  的连通和或着为  $\frac{m-2}{2}$  个  $T^2$  的连通和. 所以 *small cover* 决定了除  $S^2$  外的所有二维闭曲面.

在本文中，我们主要通过构造 small cover 的不同胞腔分解来计算基本群的群表示. 我们由 Hurewicz 定理知道，胞腔复形的基本群可以由它们的二维骨架确定，所以在本文中，我们构造了 small cover 的两种胞腔结构，计算基本群时，仅考虑它们的二维骨架.

## 2 Dual Cell Structure

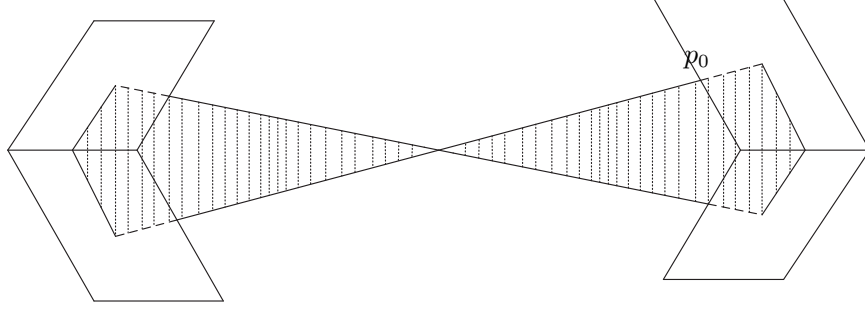
### 2.1 Constructions

我们首先将  $|\mathbb{Z}_2^n| = 2^n$  个多面体  $P^n$  的 copy 在  $P$  的任一顶点  $p_0$  处粘合，得到一个大的多面体  $Q^n = P \times \mathbb{Z}_2^n / \sim$ ，这里  $Q$  也可以看作将多面体  $P$  沿着它的一点  $p_0$  附近的 facets 作反射得到，所以对于  $M_P$ ，局部上  $(\mathbb{Z}_2^n)$  都可由反射构造，染色信息实际上不决定  $M_P$  的局部信息.

由  $Q$  的构造知， $Q^n$  中的每一个  $P$  自然地拥有一个标号  $l \in \mathbb{Z}_2^n$ ，我们记第  $l$  个多面体  $P$  为  $(P, l)$   $P_l$ . 若  $(P, l)$  的 face  $F_i^k \subset \partial Q$ ，此时  $F_i^k$  称为  $Q$  的外 face，否则称为  $Q$  的内 face，分别记为  $in(F_i^k), out(F_i^k)$ . 同上我们仍将  $Q$  中  $(P, l)$  的第  $i$  个 facet  $F_i$  记为  $F_{i,l}$ . 接下来把  $Q$  的外 facets 按照染色信息配对粘合就可以得到商空间—small cover  $M_P$ ，记  $F_{i,l}$  的对 facet 为  $F_{i,l(i)}$ .  $Q^n$  到  $P^n$  有一个自然地投射，我们记为  $\pi : Q \rightarrow P$ .

$Q$  的 facets  $F_{i,l_1}$  与  $F_{j,l_2}$  粘，当且仅当它们对应  $P$  的同一个 facets，且  $l_1^{-1}l_2 = \lambda(F_i)^{-1}\lambda(F_j)$ .

下面构造  $M_P$  的一个 dual cell constrection. 我们记  $M_P$  的  $k$  维骨架为  $M_P[k]$ . 首先我们取点  $p_0$  为  $M_P[0]$ . 我们在  $Q$  的余 1 维面处构造横截的 1-cells. 对  $Q$  的每对 facets pair  $\{F_{i,l_1}, F_{i,l_2}\}$  (包括所有的内 facets、外 facets)，任取  $F_{i,l_1}, F_{i,l_2}$  内部的点  $a_{i,l_1}, a_{i,l_2}$  (不妨取为  $F_{i,l_1}, F_{i,l_2}$  的重心)，使得  $\pi(a_{i,l_1}) = \pi(a_{i,l_2}) = a_i$ ，在  $Q$  的内部取连接  $a_{i,l_1}, a_{i,l_2}$  和  $p_0$  的两条简单有向道路 (不妨取为直线段)，不妨记为  $\overrightarrow{a_{i,l_1}}, \overrightarrow{a_{i,l_2}}$ ，则  $\overrightarrow{a_{i,l_1}}(\overrightarrow{a_{i,l_2}})^{-1}$  为  $M_P$  中以  $p_0$  为起点的一条有向闭路，不妨记为  $x_{i,l_1}$ ，另外记  $x_{i,l_2} = x_{i,l_1}^{-1}$ ，它表示  $M_P$  中以  $p_0$  为起点的有向闭路  $\overrightarrow{a_{i,l_2}}(\overrightarrow{a_{i,l_1}})^{-1}$ . 不考虑  $x_{i,l_1}$  (or  $x_{i,l_2}$ ) 的方向，则  $x_{i,l_1} - \{p_0\} \cong x_{i,l_2} - \{p_0\} \cong e^1$ ，即  $M_P$  中的每一对 facets pair 都决定了一个 1-cell. 在上述构造中，我们总可以使所有  $\{x_{i,l_1}\}$  仅交于 0-skelton  $p_0$  处. 这样我们就获得  $M_P$  的 1-skelton  $M_P[1] = \bigvee_{p_0} x_{i,l_1}$ .

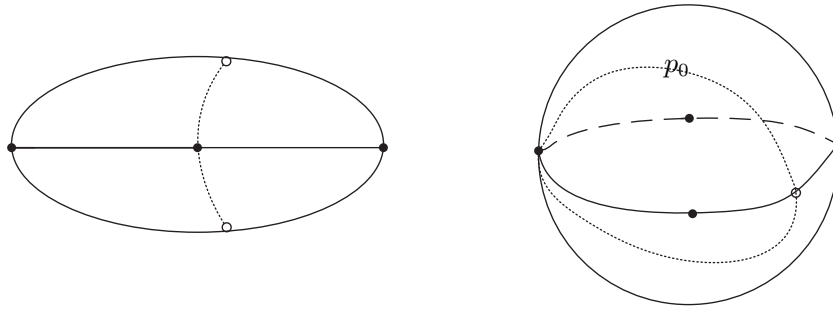


我们在余 2 维面处构造 2-cells. 设  $f_1 = F_{i,l} \cap F_{j,l}$  为  $Q$  的任意一个余 2 维面, 则令  $f_2 = F_{i,l(i)} \cap F_{j,l(i)}$ ,  $f_3 = F_{i,l(i)l(j)} \cap F_{j,l(i)l(j)}$ ,  $f_4 = F_{i,l(j)} \cap F_{j,l(j)}$ , 使得  $\bar{\pi}(f_k), k=1,2,3,4$  在  $P$  中的像一样, 记为  $f$ . 取  $f$  内部的一个点  $b$ , 对应  $f_k$  上的点设为  $b_k$ . 取  $V_1$  为经过点  $b_k, p_0, a_{i,l}, a_{j,l}$  的二维简单区域, 如取  $b$  为  $\text{span}\{\vec{a}_i, \vec{a}_j\} \cap f$ , 其中  $\vec{a}_i = \bar{\pi}(\vec{a}_{i,l_1}), \vec{a}_j = \bar{\pi}(\vec{a}_{j,l_1})$ , 则  $V_1 = \text{span}\{\vec{a}_{i,l_1}, \vec{a}_{i,l_2}\} \cap P_l \cong D_+^2$ . 类似确定  $V_2, V_3, V_4$ , 则  $\{V_k\}$  在  $M_P$  中实际上粘合成一个  $D^2$ , 记为  $V_f$ , 且  $V_f$  的边界落在 1-skelton 中. 对应的二维 cell  $e^2 = V_f - \bar{\pi}^{-1}(a_i) \cup \bar{\pi}^{-1}(a_j)$ . 这样就得到 2-skelton  $M_P[2] = M_P[1] \cup \{V_f\}$ .

依次进行下去, 我们可以在  $Q$  余  $k$  维面处可构造  $M_P$  的  $k$ -cells. 最终在  $Q$  的顶点处构造  $M_P$  的  $h_0$  个  $n$ -cells.

事实上, 对于一般具有 facets pair 结构的拓扑流形都可类似构造其胞腔结构. 如我们考虑

**例 4** 我们将三角形沿着他们对应的边粘和得到一个  $S^2$



按照上面步骤, 我们可以得到  $S^2$  的一个胞腔分解  $S^2 = e_0 \cup e^1 \cup e_1^2 \cup e_2^2$

## 2.2 Calculation and Example

在这种胞腔结构下, 可以得到  $\pi_1(M_P)$  的一个漂亮的表达形式. 下面我们分析  $M_P$  的基本群. small cover 的基本群  $\pi_1(M_P)$  的生成元可取为 facets 对应的有向闭路  $\{x_{i,l}\}$ .  $\pi_1(M_P)$  的关系由二维胞腔及配对关系决定. 对任意 facet  $F_{i,l_1}$  对应的生成元  $x_{i,l_1}$  与它的对 facet  $F_{i,l_2}$  对应的生成元  $x_{i,l_2}$  互为逆, 即  $x_{i,l_1}x_{i,l_2} = 1$ . 若我们设  $l(i) = l\lambda(F_i)$ , 则  $x_{i,l_1}x_{i,l_2} = 1$  当且仅当  $if\ l(i) = l_1l_2$ . 对于任意余二维面  $f = F_{i,l} \cap F_{j,l} (\neq \emptyset) \subset Q$ , 由  $f$  确定的二维胞腔  $V_f$  决定一个关系  $r_f = \partial V_f = x_{i,l}x_{j,l(i)}x_{i,l(i)l(j)}x_{j,l(j)} = 1$ . 从而我们得到  $\pi_1(M_P)$  的一个群表示.

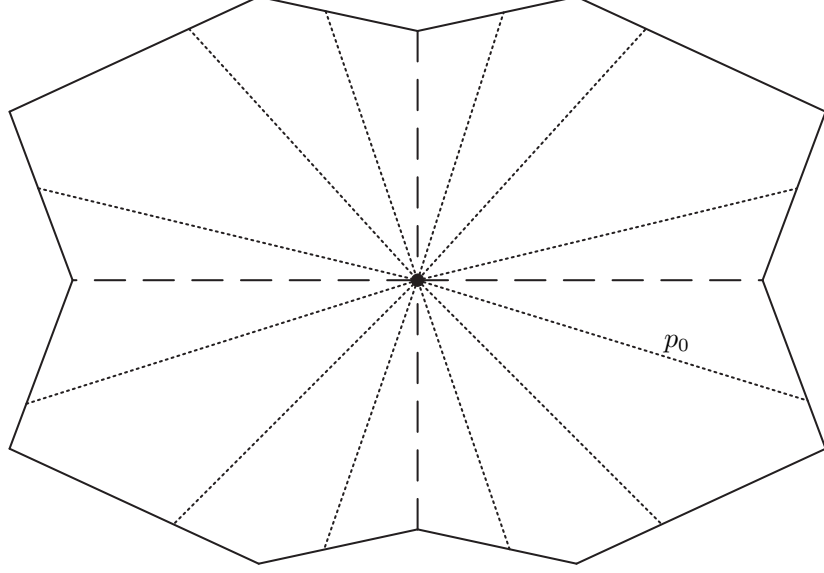
$$\begin{aligned} \pi_1(M_P) = \langle x_{i,l}, i = 1, 2, \dots, m, l \in \mathbb{Z}_2^n : x_{i,l_1}x_{i,l_2} = 1, if\ l(i) = l_1l_2 \\ x_{i,l}x_{j,l(i)}x_{i,l(i)l(j)}x_{j,l(j)} = 1, \forall f = F_{i,l} \cap F_{j,l} \neq \emptyset \rangle \quad (1) \end{aligned}$$

其中  $l(i) = l\lambda(F_i)$

事实上, 若  $F_{i,l}$  为内 facets, 则  $\overrightarrow{x_{i,l}}$  包含在  $Q$  的内部, 可缩为点道路, 故  $x_{i,l} = 1$ . 同理对于内余 2 维 face  $f = F_{i,l} \cap F_{j,l}$  确定的关系, 为内生成元的组合, 故也是平凡的. 若  $F_{i,l}, F_{j,l}$  分别为内面和外面, 不妨设  $F_{i,l}$  为外面,  $F_{j,l}$  为内面, 则  $f$  对应的关系为  $x_{i,l}x_{j,l(i)}x_{i,l(i)l(j)}x_{j,l(j)} = x_{i,l}x_{i,l(i)l(j)} = x_{i,l}x_{i,l(j)}^{-1} = 1$ . 即内面附近的且相交为余二维面  $f$  的 facets 对应的生成元是彼此相关的. 每对 facets pair 对应的生成元互为逆元, 在本文例子中, 我们可能只取其中一个作为基本群的生成元, 并且不作额外说明默认上面的结果.

$P$  为五边形时,  $Q$  可视为 12 边形, 对应 6 对 facets, 4 组余二维面.





求  $M_P$  的基本群。  $Q$  中的 facets pair 有  $\{F_{2,e_1}, F_{2,e_2}\}$ ,  $\{F_{1,e_1}, F_{1,e_1e_2}\}$ ,  $\{F_{1,1}, F_{1,e_2}\}$ ,  $\{F_{2,1}, F_{2,e_1e_2}\}$ ,  $\{F_{3,1}, F_{3,e_1}\}$ ,  $\{F_{3,e_2}, F_{3,e_1e_2}\}$  (内部 facets pair 对应平凡生成元, 我们暂不考虑)。给所有道路一个指向  $p_0$  的方向, 不妨设  $p_0$  为基本群基点, 取生成元为

$$\begin{cases} x_{2,e_1} & \longleftrightarrow (\overrightarrow{a_{2,e_2}})^{-1} \cdot \overrightarrow{a_{2,e_1}} \\ x_{1,e_1} & \longleftrightarrow (\overrightarrow{a_{1,e_1e_2}})^{-1} \cdot \overrightarrow{a_{1,e_1}} \\ x_{1,1} & \longleftrightarrow (\overrightarrow{a_{1,e_2}})^{-1} \cdot \overrightarrow{a_{1,1}} \\ x_{2,1} & \longleftrightarrow (\overrightarrow{a_{2,e_1e_2}})^{-1} \cdot \overrightarrow{a_{2,1}} \\ x_{3,1} & \longleftrightarrow (\overrightarrow{a_{3,e_1}})^{-1} \cdot \overrightarrow{a_{3,1}} \\ x_{3,e_2} & \longleftrightarrow (\overrightarrow{a_{3,e_1e_2}})^{-1} \cdot \overrightarrow{a_{3,e_2}} \end{cases}$$

在余 2 维面  $p_1, p_2, p_3, p_4$  处确定四组二维 cells:

在  $p_1$  处胞腔的边界对应  $\overrightarrow{a_{1,1}}(\overrightarrow{a_{1,e_1}})^{-1}\overrightarrow{a_{1,e_1e_2}}(\overrightarrow{a_{1,e_2}})^{-1}$ , 即  $x_{1,1}(x_{1,e_1})^{-1} = 1$

在  $p_2$  处胞腔的边界对应  $\overrightarrow{a_{2,1}}(\overrightarrow{a_{1,1}})^{-1}\overrightarrow{a_{1,e_2}}(\overrightarrow{a_{2,e_2}})^{-1}\overrightarrow{a_{2,e_1}}(\overrightarrow{a_{1,e_1}})^{-1}\overrightarrow{a_{1,e_1e_2}}(\overrightarrow{a_{2,e_1e_2}})^{-1}$ ,

即  $x_{2,1}(x_{1,1})^{-1}x_{2,e_1}(x_{1,e_1})^{-1} = 1$

在  $p_3$  处胞腔的边界对应  $\overrightarrow{a_{3,1}}(\overrightarrow{a_{2,1}})^{-1}\overrightarrow{a_{2,e_1e_2}}(\overrightarrow{a_{3,e_1e_2}})^{-1}\overrightarrow{a_{3,e_2}}(\overrightarrow{a_{2,e_2}})^{-1}\overrightarrow{a_{2,e_1}}(\overrightarrow{a_{3,e_1}})^{-1}$ ,

即  $x_{3,1}(x_{2,1})^{-1}x_{3,e_2}(x_{2,e_1})^{-1} = 1$

在  $p_4$  处胞腔的边界对应  $\overrightarrow{a_{3,e_2}}(\overrightarrow{a_{1,1}})^{-1}\overrightarrow{a_{3,e_1}}(\overrightarrow{a_{3,e_1e_2}})^{-1}$ , 即  $x_{3,1}(x_{3,e_2})^{-1} = 1$   
从而

$$\begin{aligned}\pi_1(M_P) &= \langle x_{2,e_1}, x_{1,e_1}, x_{1,1}, x_{2,1}, x_{3,1}, x_{3,e_2} | x_{1,1}(x_{1,e_1})^{-1}, x_{3,1}(x_{3,e_2})^{-1}, \\ &\quad x_{2,1}(x_{1,1})^{-1}x_{2,e_1}(x_{1,e_1})^{-1}, x_{3,1}(x_{2,1})^{-1}x_{3,e_2}(x_{2,e_1})^{-1} \rangle \\ &\cong \langle x_{2,e_1}, x_{1,1}, x_{2,1}, x_{3,1} | \\ &\quad x_{2,1}(x_{1,1})^{-1}x_{2,e_1}(x_{1,1})^{-1}, x_{3,1}(x_{2,1})^{-1}x_{3,1}(x_{2,e_1})^{-1} \rangle\end{aligned}\quad (2)$$

即  $\pi_1(M_P) \cong \langle a, x, y, z | yx^{-1}ax^{-1} = zy^{-1}za^{-1} \rangle$

### 2.3 Connection with Group of Deck Transformation

设  $\pi : M_P \rightarrow P$  为单多面体  $P^n$  上的 small cover.  $\mathcal{F} = \{F_1, F_2, \dots, F_m\}$  为  $P^n$  的 facets 集, 我们定义  $P$  的 *right-angle Coxeter group*  $W_P$  如下:

$$W_P = \langle F_1, \dots, F_m : F_i^2 = 1; (F_i F_j)^2 = 1, \forall F_i, F_j \in \mathcal{F}, F_i \cap F_j \neq \emptyset \rangle$$

我们构造  $P$  的一个二页正则的 covering orbifold  $\rho : S^n \rightarrow P^n$ , 其中  $S^n = P^n \times \mathbb{Z}_2 / \sim$  对应 facets 相粘. 当  $n \geq 2$  时,  $S^n$  为单连通的, 我们将覆叠变换群  $D(S^n, \rho, P^n)$  称为多面体  $P^n$  的广义基本群, 记为  $\hat{\pi}_1(P^n)$ . 当  $n = 1$  时,  $\hat{\pi}_1(S^1) \cong \mathbb{Z}$ , 由于  $\rho : S^1 \rightarrow I$  为二页覆叠, 所以我们将  $\hat{\pi}_1(I)$  定义为  $\mathbb{Z}^2$ .

**命题 2.1**  $\hat{\pi}_1(P) \cong W_P$

证:

**命题 2.2**  $\pi : M_P \rightarrow P$ ,  $\pi_1(M_P)$  为  $\hat{\pi}_1(P) \cong W_P$  的子群.

$$1 \rightarrow \pi_1(M_P) \rightarrow W_P \rightarrow \mathbb{Z}_2^n \rightarrow 1$$

其中  $W_P = \pi_1(M_P) \rtimes \mathbb{Z}_2^n$

**命题 2.3**  $\mathcal{L} = P \times W_P / \sim \cong Q \times \pi_1(M_P) / \sim$

**命题 2.4**  $\Pi : \mathcal{L} \rightarrow M_P, \pi_1(\mathcal{L})$  是  $\pi_1(M_P)$  的子群, 当  $\mathcal{L}$  为单连通时,  $\pi_1(M_P)$  同构于复叠变换群  $D(\mathcal{L}, \Pi, M_P)$ , 且覆叠变换群可以由  $Q = P \times \mathbb{Z}_2^n / \sim$  的外 facets 映射生成.

### 3 Perfect Cell Structure

#### 3.1 Morse Theory

微分拓扑

结论: the small cover  $M_P$  has a cell structure which is perfect in the sense of Morse theory, with one cell for each vertex of  $P^n$  and with exactly  $h_i$  cells of dimension  $i$ .

#### 3.2 Morse Function Acts on Small Covers

取  $\mathbb{R}^n$  中一个向量  $\omega$ , 使得它是 generic 的, 即  $\omega$  与  $P$  的任何一个真面都不相切. 设  $\phi = \langle \omega, x \rangle$  为多面体  $P^n$  上的高度函数, 由于  $\omega$  为 generic 的, 所以对  $P$  中任意两个不同的顶点  $p_i, p_j$ , 都有  $\phi(p_i) \neq \phi(p_j)$ . 我们把  $P^n$  的一维骨架 (图) 记为  $G_P$ . 对  $G_P$  中的任意一条以点  $p_1, p_2$  为端点的边  $s$ , 若  $\phi(p_1) > \phi(p_2)$ , 则给边  $s$  一个指向  $p_1$  的方向, 反之给边  $s$  指向  $p_2$  的方向, 则得到一个有向图, 记为  $\overrightarrow{G_P}$ . 记  $m(p)$  为  $\overrightarrow{G_P}$  中以顶点  $p$  为端点且指向点  $p$  的边的个数. 对于  $P^n$  中的任意一个面  $F^k (k > 0)$ , 由于  $\phi$  是 generic 的线性函数, 则  $\phi|_F$  存在最大值, 且在某个定点上取得, 这个顶点称为面  $F$  的最高点, 类似  $\phi|_F$  取最小值的点称为  $F$  的最低点, 显然  $F$  的最高点和最低点都是唯一的. 对  $P$  的每一个顶点  $p$ , 包含所有指向点  $p$  的边的最小面记为  $F_p$ , 显然  $\dim F_p = m(p)$ , 且  $P$  中任意一个以点  $p$  为最高点的面都是  $F_p$  的面. 将  $F_p$  所有面的相对内部 ( $F_p$  挖掉  $F_p$  中不包含点  $p$  的真面) 的并记为  $\hat{F}_p \cong \mathbb{R}_+^{m(p)}$ . 设  $\pi: M_P \rightarrow P$  为一个 small cover. 则

$$e_p = \pi^{-1}(\hat{F}_p) \cong e^{m(p)}, \quad D_p = \pi^{-1}(F_p) \cong M_{F_p}$$

这样就得到了  $M_P$  的一个 cell structure. 由于每个 cell 在  $M_P$  中的闭包都为一个闭流形, 为一个 mod 2 闭链, 所以在  $\mathbb{Z}_2$  同调中, 粘贴映射都是平凡的. 所以这种胞腔结构在  $\mathbb{Z}_2$  系数下是 perfect 的. 另外

$$\sum_{i=0}^k (-1)^{k-i} \binom{n-i}{n-k} f_{i-1} = h_k = h_{n-k} = \sum_{i=0}^n (-1)^{i+k} \binom{i}{k} f_i = |\{p: m(p) = k\}|$$

其中第二个等号是 Dehn-Sommerville 关系, 第三个等式见 [brønsted, p.115]

### 3.3 Calculation and Example

选取  $p_0 \in P$  为  $P$  的最低点, 则  $\pi^{-1}(p_0) = \{p_0\} \subset M_P$ , 我们不妨取  $p_0$  为 small cover  $M_P$  的基点. 对任意边  $s \subset P$ ,  $\pi^{-1}(s)$  为 small cover  $M_P$  中的闭路, 我们选取那个  $m(p) = 1$  的  $F_p$  所对应的闭路  $s$  作为  $\pi_1(M_P)$  的生成元, 设  $p_1, p_2$  为  $F_p$  的两个端点, 并取一条道路 (不妨设为  $(P[1], 1)$  中的道路) 连接  $s$  中较低点与点  $p_0$ , 这样我们就得到  $M_P$  的一维骨架  $M_P[1] \cong \bigvee_{p_0} S^1$ , 剩余其他边对应的连接  $p_0$  的闭路总可以由这些闭路表示. 所有  $m(p) = 2$  的顶点对应的面  $F_p$  决定  $M_P$  的全部二维胞腔,  $\pi^{-1}(F_p - \hat{F}_p)$  为  $M_P$  中的闭路, 记为  $r$ , 它决定了  $\pi_1(M_P)$  的一个关系, 这样经过计算化简我们就得到了  $\pi_1(M_P)$  的一个 perfect 表示.

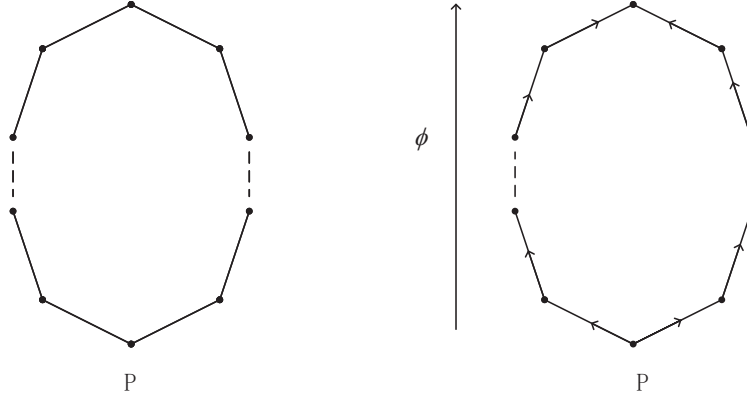
(二维) 设  $P^2 \subset \mathbb{R}^2$  为单凸  $m$  边形 ( $m \geq 3$ )

$$M_{P^2} = \mathbb{Z}_2^2 \times P^2 / \sim$$

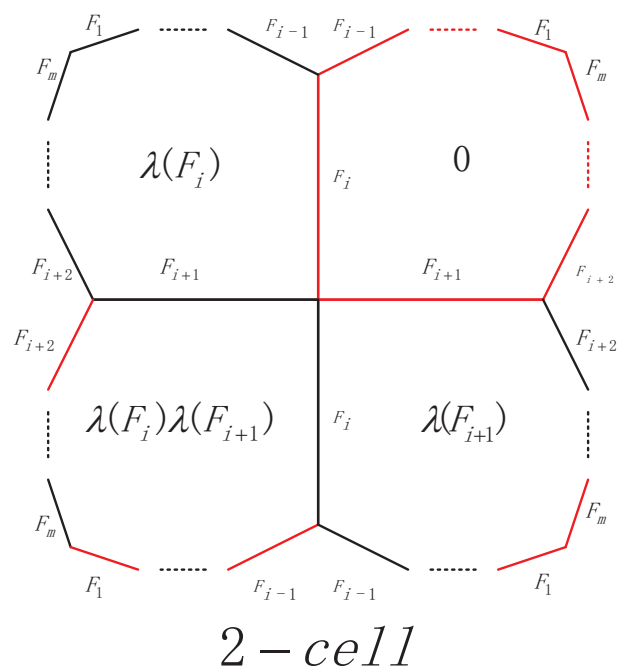
其中  $(g, p) \sim (h, q) \Leftrightarrow p = q, gh^{-1} \in G_{F(p)}$

下面计算 small cover 的基本群, 设  $\mathbb{Z}_2 = \{-1, 1\}$  为乘法群.

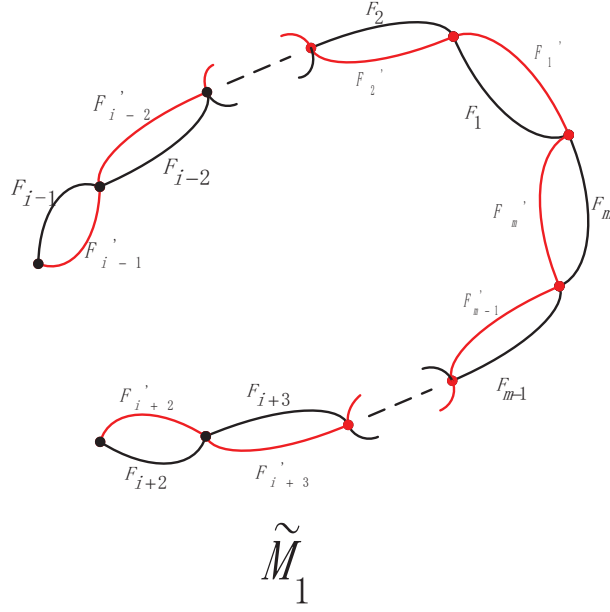
已知  $P$  上的每条边的染色, 给定一个 generic 高度函数  $\phi$ , 从而得到  $P$  的边构成有向图  $\vec{G}_P$ .



设  $P$  的最高点为点  $q_0$ , ( $m(p_0) = 2$ ), 则二维  $D_{q_0}^2 = \pi^{-1}(F_p)$  是由 4 个  $m$  边形  $P$  的 copy 沿着边  $F_i, F_{i+1}$  粘成, 将剩余的边按染色信息成对粘则得到 small cover  $M_P$ .



$\partial D_{p_0}^2$  在  $M_P$  中实际为一些相连的 loop.



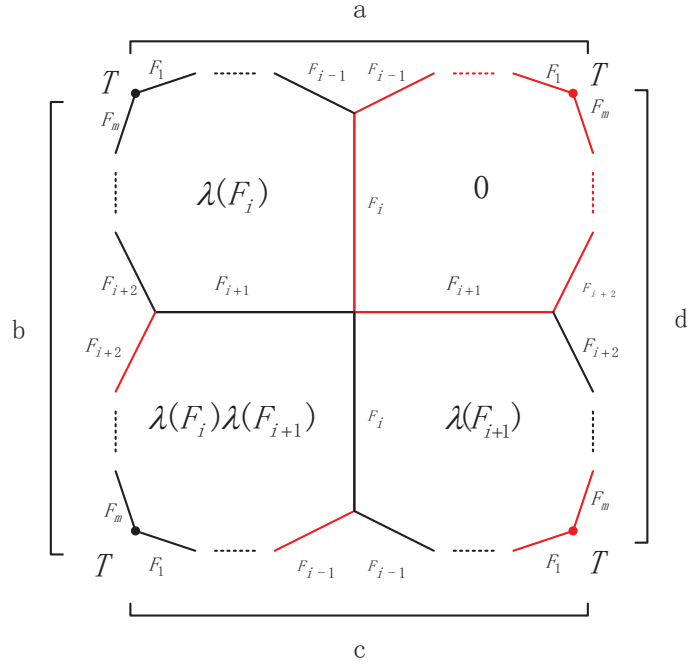
在  $\overrightarrow{G_P}$  中,  $m(p) = 1$  的点有  $m - 2$  个, 对应的  $\pi^{-1}(F_p)$  在  $M_P$  中为  $m - 2$  个依次连接的 loop. 这和定理 (3.1) 确定的 perfect cell construction 的 1 维骨架  $M[1] = \vee_{m-2} S_1$  是同伦的 (如收缩  $\widetilde{M}[1]$  中的一个极大树, 使得所有  $m(p \leq 1)$  的点都收缩到基点  $p_0$  上去. 下面我们不妨将第  $P_1$  的  $m - 2$  条边缩到基点上, 得到  $M[1]$ ).

所以  $\pi_1(M_P) = \pi_1(M[1] \bigcup_{\partial D_{p_0}^2} e^2) \cong \pi_1(\widetilde{M}[1] \bigcup_{\partial D_{p_0}^2} e^2)$ . 其中的同构是由上面的收缩映射诱导的.

我们取  $\pi_1(\widetilde{M}_1 \cup e_2)$  的生成元依次为

$$\left\{ \begin{array}{ll} x_1 & \longleftrightarrow F_1 F'_1 \\ x_2 & \longleftrightarrow F_1 F_2 F'_2 F'_1 \\ x_3 & \longleftrightarrow F_1 F_2 F_3 F'_3 F'_2 F'_1 \\ & \vdots \\ x_{i-1} & \longleftrightarrow F_1 F_2 \cdots F_{i-1} F'_{i-1} \cdots F'_1 \\ x_{i+2} & \longleftrightarrow F_m F_{m-1} \cdots F_{i+2} F'_{i+2} \cdots F'_m \\ & \vdots \\ x_m & \longleftrightarrow F_m F'_m \end{array} \right.$$

其中  $F'_i$  表示  $\pi^{-1}(F_{p_i}) \cap P_1$  中的边,  $F_i$  表示  $\pi^{-1}(F_{p_i}) - P_1$  中的边, 则  $x_i$  都是以  $p_0$  为起点的有向闭路.  $\partial D^2_{p_0}$  本质上为  $\widetilde{M}[1]$  在平面  $R^2$  上的展开.



为方便我们将  $\partial D_{p_0}^2$  分成以  $p_0$  为端点的 4 段. 分别记为  $a, b, c, d$ , 则  $a, b, c, d$  在  $M_P$  中都为基点在  $p_0$  上的闭路, 则有

$$\begin{cases} a = F_1 F_2 \cdots F_{i-1} f_1(F_{i-1}) \cdots f_1(F_1) \\ b = f_1(F_m) \cdots f_1(F_{i+2}) f_3(F_{i+2}) \cdots f_3(F_m) \\ c = f_3(F_1) \cdots f_3(F_{i-1}) f_2(F_{i-1}) \cdots f_2(F_1) \\ d = f_2(F_m) \cdots f_2(F_{i+2}) F_{i+2} \cdots F_m \end{cases}$$

其中

$$f_1(F_k) = \begin{cases} F_k & \text{if } \lambda(F_i) \cdot \lambda(F_k) = 0 \\ F'_k & \text{if } \lambda(F_i) \cdot \lambda(F_k) \neq 0 \end{cases} \quad (3)$$

$$f_2(F_k) = \begin{cases} F_k & \text{if } \lambda(F_{i+1}) \cdot \lambda(F_k) = 0 \\ F'_k & \text{if } \lambda(F_{i+1}) \cdot \lambda(F_k) \neq 0 \end{cases} \quad (4)$$

$$f_3(F_k) = \begin{cases} F_k & \text{if } \lambda(F_i) \cdot \lambda(F_{i+1}) \cdot \lambda(F_k) = 0 \\ F'_k & \text{if } \lambda(F_i) \cdot \lambda(F_{i+1}) \cdot \lambda(F_k) \neq 0 \end{cases} \quad (5)$$

这样进一步可将闭路  $a, b, c, d$  由生成元  $x_1, x_2, \cdots, x_{i-1}, x_{i+2}, \cdots, x_m$  表示, 故

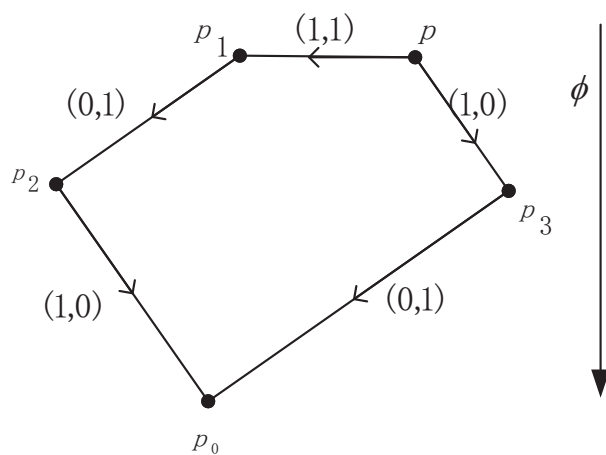
$$\begin{aligned} \pi_1(M_P) = \langle x_1, x_2, \cdots, x_{i-1}, x_{i+2}, \cdots, x_m | \\ a(x_1, \cdots, x_m) b(x_1, \cdots, x_m) c(x_1, \cdots, x_m) d(x_1, \cdots, x_m) \rangle; \end{aligned} \quad (6)$$

另外, 还可以获取  $F_i$  和  $F'_i$ ,  $F_{i+1}$  和  $F'_{i+1}$  组成与基点的 loop 与生成元之间的关系, 在高维 small cover 基本群的计算中, 可能会用到这种关系. 已知  $n$  维 ( $n \geq 3$ ) 单凸多面体  $P^n$  及其上的染色. 我们依然首先给定一高度函数  $\phi$ , 构造  $M_P$  的 cell structure. 在  $P$  的一维边构成的有向图  $G_P$  中, 由  $m(v) = 1, 2$  对应的  $F_p$  确定基本群生成元和关系. 从而得出  $M_p$  的基本群的一个表示. 特别注意的是, 我们收缩图  $\pi^{-1}(G_P)$  中的一个极大树, 使得  $M_P$  中的所有的顶点都收缩到一点  $p_0$  上, 这时  $\pi^{-1}(G_P) \cong \bigvee S^1$ , 前面确定的 loop 为基本群生成元的几何含义是  $M_P$  中任意一个以  $p_0$  为端点的 loop  $l$ , 总存在一个映射柱使得  $l$  沿着映射柱可以形变收缩到生成元表示的 loop 上去. perfect 胞腔结构中, 2 维面的边界在  $M_P$  始终为 loop, 所以我们可以利用这点计算出  $M_P$  的基本群.

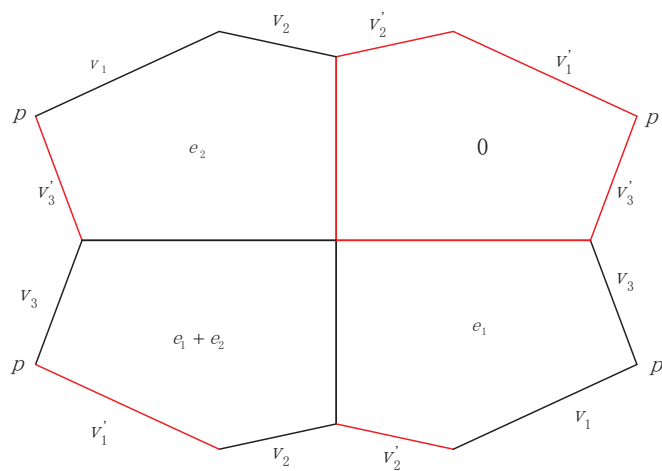


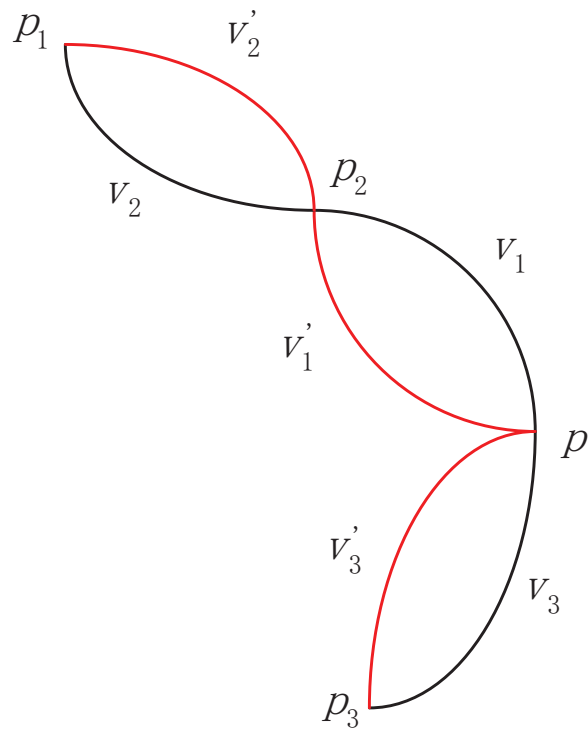
我们在后面会利用不同方法计算一个三维多面体  $P^3 = I^3 \# \Delta^3$  上的 small cover 的基本群，这这里不举额外的例子了.

例：给定五边形  $P_2$  及其上面的染色，并取如图方向高度函数，得有向图



得到的  $D^2$  如下





我们取生成元如下

$$\begin{cases} x & \longleftrightarrow v_1 v_1' \\ y & \longleftrightarrow v_1 v_2 v_2' v_1' \\ z & \longleftrightarrow v_3 v_3' \end{cases}$$

所以

$$\begin{cases} a : v_1 v_2 v_2' v_1' = y \\ b : v_3 v_3' = z \\ c : v_1 v_2' v_2 v_1' = x y^{-1} x \\ d : v_3' v_3 = z^{-1} \end{cases}$$

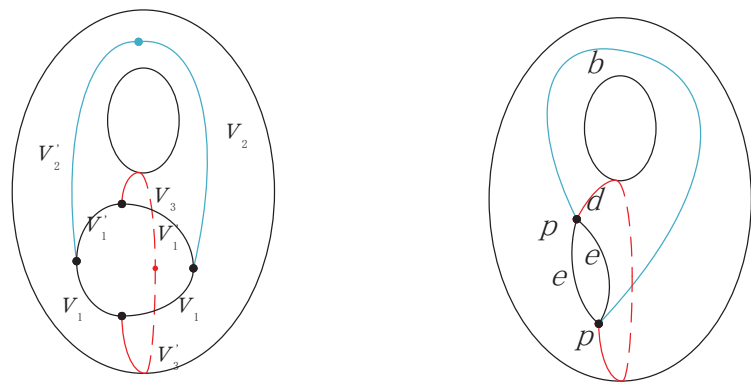
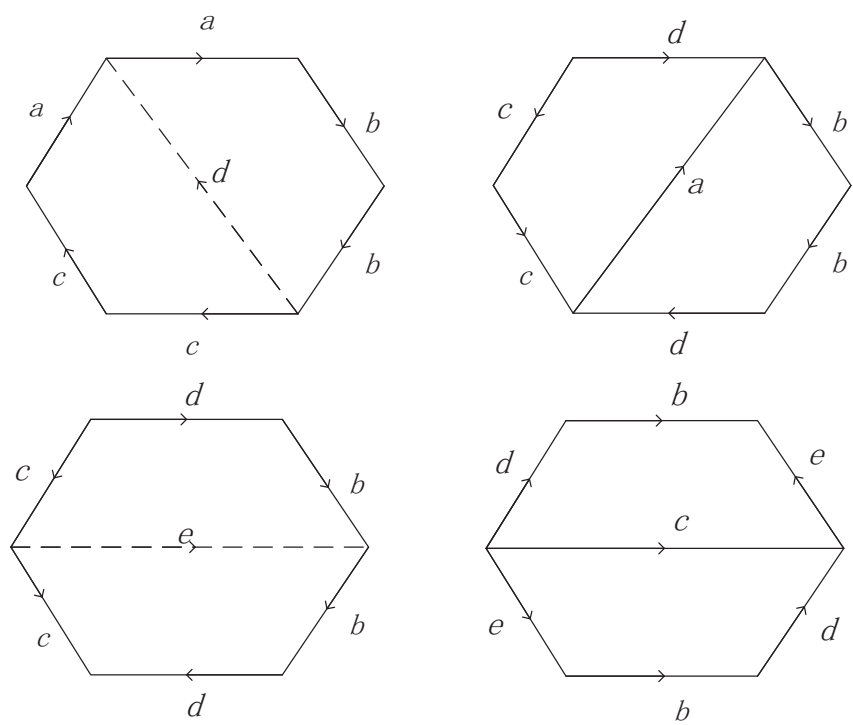
从而求得基本群

$$\pi_1(M_P) = \langle x, y, z | y z x y^{-1} x z^{-1} \rangle;$$

验证: (简单的 **word problem** 问题) 我们知道二维连通闭曲面由其欧拉数决定, 已知  $M_p$  的欧拉数  $\chi(M_p) = 5 - 10 + 4 = -1$ , 故  $M_P \cong RP^2 \# RP^2 \# RP^2 \cong K^2 \# RP^2 \cong T^2 \# RP^2$ 。知  $\pi_1(M_P, p)$  的标准表示为  $\langle a, b, c | aabbcc \rangle$ 。我们通过下面手术知, 可取变换

$$\begin{cases} a = z^{-1}y^{-1}xy^{-1}x \\ b = x^{-1}y \\ c = yz \end{cases}$$

使得上面求得的基本群表示与标准表示同构.

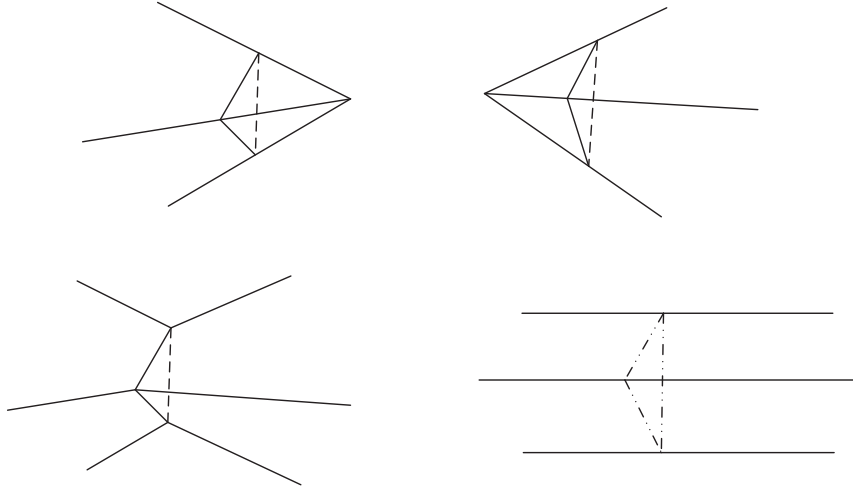


### 3.4 Balance Representation and Heegaard Diagram of 3-Small Cover

## 4 the Fundamental Group of Product and Connected Sum of Polytopes

### 4.1 $\pi_1(M_{P_1^n \# P_2^n})$

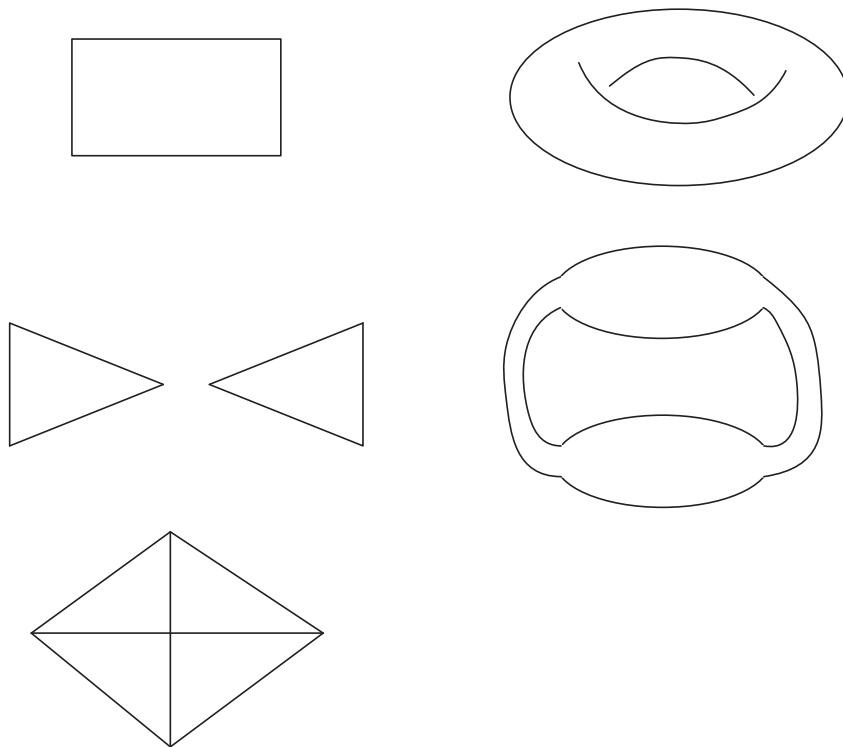
给定两个同维数的单多面体  $P_1^n, P_2^n$ ,  $p, q$  分别为  $P_1^n, P_2^n$  的两个顶点, 分别切去  $P_1^n, P_2^n$  中包含点  $p, q$  的一个小角  $V_p, V_q$ , 将剩下的部分粘在一起, 称为  $P, Q$  在点  $p, q$  处的连通和, 记为  $P_1 \#_{p,q} P_2$ . 注意  $P_1 \#_{p,q} P_2$  表示一族多面体.



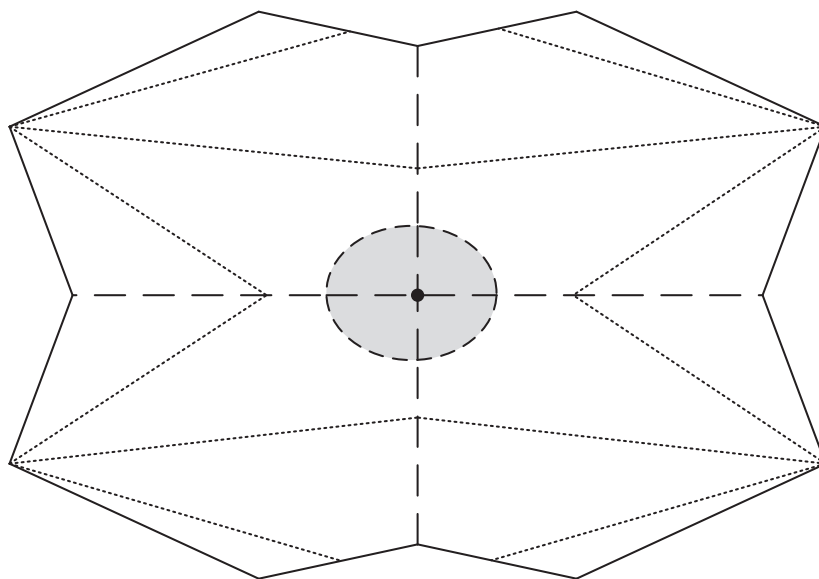
注:  $P^n \# \triangle^n$  相当于  $P^n$  切去一个角.

我们称  $Q^n = P_1^n \# P_2^n$  的染色可继承给  $P_1, P_2$ , 是指连通和处 (三维时对应上图中的小三角) 的  $n$  个 facets 的染色张成  $Z_2^n$  的一组基. 若  $Q^n = P_1^n \# P_2^n$  的染色是可继承的, 则  $P_1^n, P_2^n$  上存在一组自然的染色, 我们分别设  $\Pi_1 : M_{P_1} \rightarrow P_1, \Pi_2 : M_{P_2} \rightarrow P_2$  为  $P_1^n, P_2^n$  上按照继承的染色所构造的 small cover. 由于  $\Pi_1^{-1}(V_p) \cong D^n \cong \Pi_2^{-1}(V_q)$ , 所以  $M_{P_1 \# P_2} = M_{P_1} \# M_{P_2}$ . 若  $Q^n$  上的染色不是可继承的, 讨论起来可能比较复杂, 比如  $Q = I^2$ , 给如下的染色, 我们知道  $M_Q = T^2$ ,  $M_{P_1} = M_{P_2} = S^2$ ,  $T^2$  是由两个  $S^2$  分别

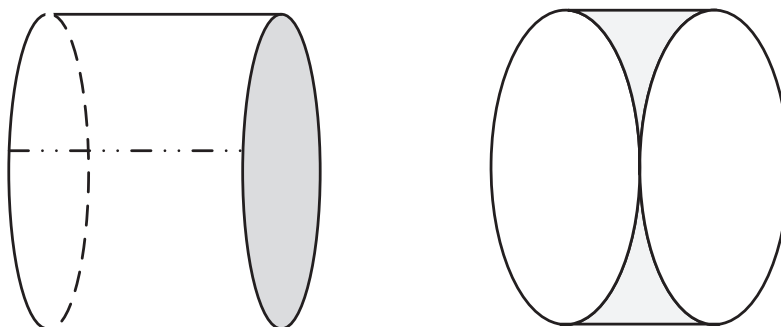
挖掉两个圆盘连通起来的, 因此不能用 van-Kampen 定理, 暂且不讨论. 下面讨论的  $Q^n$  都具备可继承的染色.



当  $n \geq 3$  时, 由 van-Kampen 定理知,  $\pi_1(M_{P\#Q}) \cong \pi_1(M_P) * \pi_1(M_Q)$ . 由这可以知道不同构的多面体 (如  $P\#Q$ ) 上的 small cover 也可以是同胚的. (加上 flag, 就不能再考虑连通和, 是不是也有这样的反例? 若没有, 则具有同构基本群的两个 aspherical small cover 的底空间 polytope 是同构的.)



当  $n = 2$  时，在对偶 cell 结构下，我们在  $M_{P_1}$  中挖掉包含点  $p$  的一个圆盘，在  $M_{P_2}$  中挖掉包含点  $q$  的一个圆盘，将剩余部分粘合（定向？）。我们选取  $M_{P_1}$  中的  $p_0$  点作为基点，将  $M_{P_2}$  中的  $q_0$  点沿着一条固定道路  $h$  收缩到  $p_0$  上，这时它们的连通柱相当于一个一个新的二维胞腔，胞腔的边界恰好落在  $M_{P_1}[1] \cup M_{P_2}[1]$  上，这样就可以得到  $M_{P_1 \# P_2}$  的一个胞腔结构。



我们不妨设  $\pi_1(M_{P_1}, p) = \langle x_1, \dots, x_{4m_1} : r_1, \dots, r_{M_1}, r_p \rangle$ ,  
 $\pi_1(M_{P_2}) = \langle y_1, \dots, y_{4m_2} : s_1, \dots, s_{M_2}, s_q \rangle$ . 则

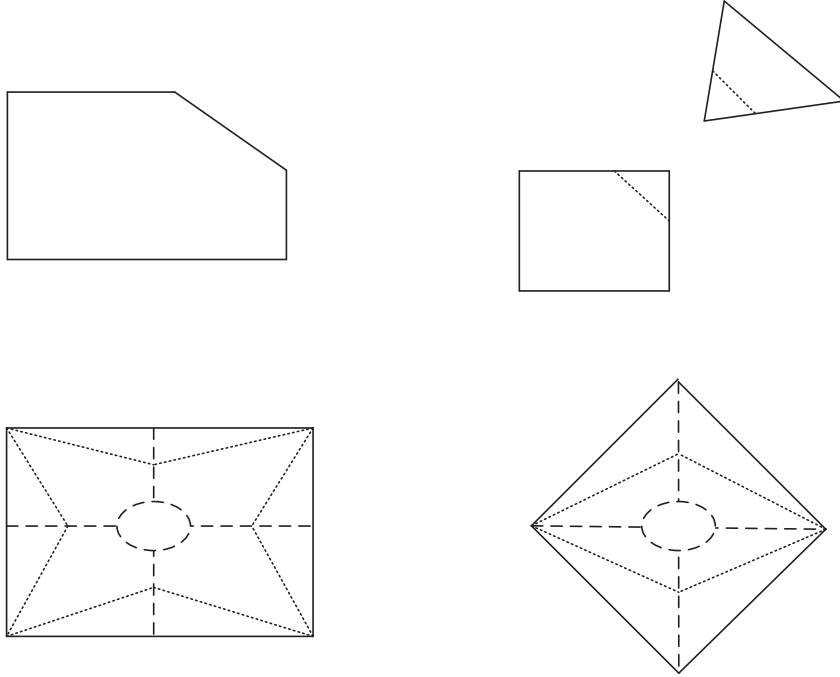
$$\pi_1(M_{P_1 \# P_2}, p_0) = \langle x_1, \dots, x_{4m_1}, y_1, \dots, y_{4m_2} : r_1, \dots, r_{M_1}, s_1, \dots, s_{M_2}, r_p^{-1} s_q \rangle \quad (7)$$

事实上, 由二维闭曲面分类定理, 我们只需要判断当  $m_1 + m_2 - 2$  为偶数时染色信息确定的 small cover 是否可定向, 或者由 perfect 胞腔结构我们可以直接算出  $M_{Q^2}$  的基本群.

**Q1:** 当  $P^2$  为  $m$  边形,  $m$  为一个偶数, 由  $\mathcal{F}$  上的染色判断  $M_P$  是否可定向.

当  $n = 1$  时,  $P = Q = P \# Q = I$ , 则  $\pi_1(M_{P \# Q}) \cong \pi_1(M_P) \cong \pi_1(M_Q) \cong \mathbb{Z}$

**例:** 设  $P$  为平面上的五边形, 则  $P = I^2 \# \triangle^2$



分别取  $T^2$  和  $\mathcal{R}P^2$  中的以  $p_0, q_0$  为端点的虚线为生成元, 并设  $h$  为  $M_P$  中  $q_0$  到  $p_0$  的一条固定的道路. 则有



$$\pi_1(T^2) = \langle x_1, x_2, x_3, x_4 | x_1 x_3 = x_2 x_4 = x_1 x_2 x_3 x_4 = 1 \rangle$$

$$\pi_1(\mathcal{R}P^2) = \langle y_1, y_2 | y_1(y_2)^{-1} = y_1 y_2 = 1 \rangle$$

我们取  $M_P$  的基本群的生成元为  $\{x_1, x_2, x_3, x_4, h^{-1}y_1h = a, h^{-1}y_2h = b\}$  则

$$\begin{aligned} \pi_1(M_P) &= \langle x_1, x_2, x_3, x_4, h^{-1}y_1h, h^{-1}y_2h | \\ &\quad x_1 x_3 = x_2 x_4 = h^{-1}y_1(y_2)^{-1}h = 1, x_1 x_2 x_3 x_4 h^{-1}y_1 y_2 h \rangle \\ &= \langle x_1, x_2, a | x_1 x_2 (x_1)^{-1} (x_2)^{-1} a^2 \rangle \end{aligned} \quad (8)$$

#### 4.2 $\pi_1(M_{P_1^{n_1} \times P_2^{n_2}})$

$$\text{令 } h(P, t) = h_0 + h_1 t + \cdots + h_n t^n, \text{ 由于 } f_k(P^{n_1} \times Q^{n_2}) = \sum_{i=-1}^{n_1-1} f_i(P) f_{k-i-1}(Q),$$

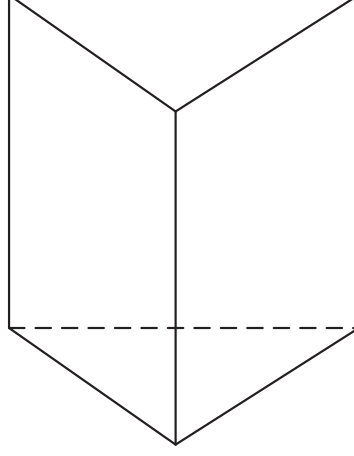
则

$$\begin{aligned} h(P \times Q, t) &= h(P, t) h(Q, t) \\ &= (h_0 + h_1 t + \cdots + h_{n_1} t^{n_1})(h_0^* + h_1^* t + \cdots + h_{n_2}^* t^{n_2}) \\ &= h_0 h_0^* + (h_0 h_1^* + h_1 h_0^*) t + (h_0 h_2^* + h_1 h_1^* + h_2 h_0^*) t^2 + \cdots \end{aligned} \quad (9)$$

事实上记  $P_1^{n_1}, P_2^{n_2}$  的乘积为  $Q^{n_1+n_2} = P_1^{n_1} \times P_2^{n_2}$ , 任意  $P_1$  的  $i$  维面  $F_1^i$  和  $P_2$  的  $j$  维面  $F_2^j$  贡献  $Q$  的一个  $i+j$  维面  $F_1^i \times F_2^j$ . 在 perfect 胞腔结构下, 我们考虑  $M_Q$  的胞腔结构, 对于  $M_Q$  中一顶点  $(p_i, q_j)$ , 则  $m(p_i, q_j) = k$  当且仅当  $m(q_i) + m(q_j) = k$ . 在计算基本群时, 我们仅考虑  $k = 1, 2$  的情况. 当  $k = 1$  时,  $(p_i, q_j)$  对应的边在  $M_Q$  中取为基本群生成元, 此时  $m(q_i) = 1, m(q_j) = 0$  或  $m(q_i) = 0, m(q_j) = 1$ , 这表示  $\pi_1(M_Q)$  的生成元, 对应  $\pi_1(M_{P_1})$  和  $\pi_1(M_{P_2})$  的生成元. 当  $k = 2$  时,  $(p_i, q_j)$  对应的二维面在  $M_Q$  中的像决定基本群的关系, 此时  $m(q_i) = 2, m(q_j) = 0$ , 或  $m(q_i) = 0, m(q_j) = 2$ , 或  $m(q_i) = m(q_j) = 1$ , 这表示  $\pi_1(M_Q)$  的关系, 对应  $\pi_1(M_{P_1})$  和  $\pi_1(M_{P_2})$  的关系, 额外添加  $h_1(P_1)h_1(P_2)$  个形如  $xyx^{-1}y^{-1}, xyxy^{-1}$  的关系 ( $I^2$  上的可能关系). 即有

$$\begin{aligned} \pi_1(M_Q) &= \langle x_1, \cdots, x_{m_1}, y_1, \cdots, y_{m_2} | r_1, \cdots, r_{n_1}, s_1, \cdots, s_{n_2}, \\ &\quad \{[x_i, y_j], x_i y_j x_i (y_j)^{-1}, y_j x_i y_j (x_i)^{-1}\} \rangle \end{aligned} \quad (10)$$

其中  $M_{P_1}, M_{P_2}$  在投射下的高度函数和染色所决定的 perfect 胞腔结构对应的基本群分别为,  $\pi_1(M_{P_1}) = \langle x_1, \cdots, x_{m_1} | r_1, \cdots, r_{n_1} \rangle$ ,  $\pi_1(M_{P_2}) = \langle y_1, \cdots, y_{m_2} | s_1, \cdots, s_{n_2} \rangle$



**例:** 如取  $P = I \times \triangle^2$  为三棱柱, 共有 5 个 facets  $\{F_i\}_{i=1,2,3,4,5}$ , 我们给上下底面  $F_1, F_2$  染色  $e_1$ , 侧面  $F_3, F_4, F_5$  染色为  $e_2, e_3, e_1e_2e_3$ , 由  $P$  的  $h$ -vector 知,  $\pi_1(M_P)$  有两个生成元和两个关系, 它的任意一个侧面上的 small cover 基本群有两个生成元, 一个关系.

即  $\pi_1(M_I) \cong \mathcal{Z}$ ,  $\pi_1(M_{\triangle^2}) = \langle x : x^2 = 1 \rangle$ ,  $\pi_1(M_P) \cong \langle x, y : x^2 = 1, yxyx^{-1} \rangle$

**Q2:** 已知三维 small cover 的基本群  $\pi_1(M_P) = G_1 \times G_2$ , 则  $M_P \cong S^1 \times N^2$ .

**证:**  $\pi_1(M_P)$  存在一个 balance 表示, 不妨设

$$\begin{aligned} \pi_1(M_P) &= \langle x_1, \dots, x_{m_1}, y_1, \dots, y_{m_1} | r_1, \dots, r_{m_1+m_2} \rangle \\ &\cong \langle x_1, \dots, x_{m_1} | r_1, \dots, r_{h_1} \rangle \times \langle y_1, \dots, y_{m_1} | s_1, \dots, s_{h_2} \rangle \end{aligned} \quad (11)$$

(其中  $m_1, m_2$  都大于等于 1, 这里生成元个数和关系个数都不能再少), 由于关系中至少包含  $m_1m_2$  个交换关系  $[x_i, y_j]$ , 故  $m_1 + m_2 - m_1m_2 > 0$ , 即  $(m_1 - 1)(m_2 - 1) < 1$ , 即  $m_1, m_2$  中至少有一个为 1, 不妨设  $m_1 = 1$ ,  $\pi_1(M_P)$  中包含  $m_2$  个交换关系, 所以

## 5 Application

### 5.1 Cube

任取一点  $p_0 \in P$  为  $P$  的一个顶点, 我们取高度函数为  $p_0$  指向它的对角点的有向直线. 由  $h_k(P) = \binom{n}{k}$  知, 在 perfect cell structure 下,  $M_P$  有  $n = \binom{n}{1}$  个一维胞腔, 有  $\frac{n(n-1)}{2} = \binom{n}{2}$  个二维胞腔, 对应  $\pi_1(M_P)$  有  $n$  个生成元,  $\frac{n(n-1)}{2}$  个关系.

不妨假设顶点  $p_0$  附近的 facets 染色依次为  $e_1, e_2, \dots, e_n$  (若不是总可以变为  $e_1, e_2, \dots, e_n$ ), 其中  $e_i = (1, 1, \dots, 1, -1, 1, \dots, 1) \in \mathbb{Z}_2^n$

### 5.2 Flag

$$Q = I^n \times \mathbb{Z}_2^n / \sim$$

设  $F^k$  为单凸多面体  $P$  的一个  $k$  维面,  $F^k$  仍为单凸的, 且继承了  $P$  染色. 记  $F^k$  上的 small cover 为  $M_F$ . 下面在 dual cell structure 下, 分析  $\pi_1(M_F)$  与  $\pi_1(M_P)$  的关系.

不妨取  $F$  为  $P$  的第一个 facet,  $p_0$  为  $F, P$  任意一个共同的顶点, 我们将分别将  $\{(F, l)\}_{l \in \mathbb{Z}_2^{n-1}}$  与  $\{(P, l)\}_{l \in \mathbb{Z}_2^n}$  在点  $p_0$  处粘合, 得到多面体  $Q = P \times \mathbb{Z}_2^n / \sim$  与  $Q_F = F \times \mathbb{Z}_2^{n-1} / \sim$ . 则  $out(Q_F) \subset out(P), in(Q_F) \subset in(P)$ . 设  $f_i = F_i \cap F \neq \emptyset$  为  $F$  的一个任意的 facet,  $f_i \cap f_j = F_i \cap F_j \cap F \neq \emptyset$  为  $F$  的一个任意的余 2 维面. 设  $f_{i,l} = F_{i,l_1} \cap F_{1,l_1} = F_{i,l_2} \cap F_{1,l_2}$  为  $Q_F$  中的任意一个 facet, 其中  $\{F_{1,l_1}, F_{1,l_2}\}$  为  $\{(P, l)\}_{l \in \mathbb{Z}_2^n}$  中的 facets-pair, 则  $f_{i,l}$  在  $Q_F$  中对应的有向闭路与  $F_{i,l_1}$  和  $F_{i,l_2}$  在  $Q$  中对应的有向闭路  $x_{i,l_1}, x_{i,l_2}$  是定点同伦的, 所以我们不妨记  $f_{i,l}$  在  $Q_F$  中对应的有向闭路为  $x_{i,l}$ . 对于  $Q_F$  中的任意一个余 2 维面  $f_{i,l} \cap f_{j,l} = F_{i,l} \cap F_{j,l} \cap F_{1,l} \neq \emptyset$  所对应的二维胞腔  $V_l$  与  $F_{i,l_1} \cap F_{j,l_1}$  和  $F_{i,l_2} \cap F_{j,l_2}$  所对应的二维胞腔  $V_{l_1}, V_{l_2}$  是定点同伦的, 所以在  $\pi_1(M_F)$  中,  $f_{i,l} \cap f_{j,l}$  决定的关系与  $F_{i,l_1} \cap F_{j,l_1} (\cap F_{1,l_1} \neq \emptyset)$  或者  $F_{i,l_2} \cap F_{j,l_2} (\cap F_{1,l_2} \neq \emptyset)$  在  $\pi_1(M_P)$  中决定的关系对应. 所以  $M_F$  的基本群为

$$\begin{aligned} \pi_1(M_F) = \langle x_{i,l}, i = 1, 2, \dots, m', l \in \mathbb{Z}_2^{n-1} : x_{i,l_1} x_{i,l_2} = 1, \text{ if } l(i) = l_1 l_2 \\ x_{i,l} x_{j,l(i)} x_{i,l(i)l(j)} x_{j,l(j)} = 1, \forall f = f_{i,l} \cap f_{j,l} \neq \emptyset \rangle \quad (12) \end{aligned}$$

其中  $f = f_{i,l} \cap f_{j,l} = F_{i,l_1} \cap F_{j,l_1} \cap F_{0,l_1} = F_{i,l_2} \cap F_{j,l_2} \cap F_{0,l_2} \neq \emptyset$ . 即形式上  $\pi_1(M_F)$  的生成元集  $G_F$  和关系集  $R_F$  都可为  $\pi_1(M_P)$  的生成元集  $G$

和关系集  $F$  的子集. 事实上, 由上面分析进一步知这种关系是由包含映射  $i : F \rightarrow P$  所诱导的, 即对  $i_* : \pi_1(M_F) \rightarrow \pi_1(M_P)$  有  $i_*|_{G_F} = id$ . 进一步由归纳知, 对任意  $F^k$ ,  $\pi_1(M_F)$  和  $\pi_1(M_P)$  都有上面的关系. 由这种关系可以看出  $i_*$  不一定是单同态.

如取  $P = I \times \Delta^2$  为三棱柱, 共有 5 个 facets  $\{F_i\}_{i=1,2,3,4,5}$ , 我们给上下底面  $F_1, F_2$  染色  $e_1$ , 侧面  $F_3, F_4, F_5$  染色为  $e_2, e_3, e_1e_2e_3$ , 由  $P$  的  $h$ -vector 知,  $\pi_1(M_P)$  有两个生成元和两个关系, 它的任意一个侧面上的 small cover 基本群有两个生成元, 一个关系.

$$\text{即 } \pi_1(M_P) = \langle x, y : x^2 = yxyx^{-1} = 1 \rangle, \pi_1(M_F) = \langle x, y : yxyx^{-1} = 1 \rangle$$

$$i_* : \pi_1(M_F) \rightarrow \pi_1(M_P)$$

满足  $i_*(x) = x, i_*(y) = y$ , 但  $i_*$  非单.

**命题 5.1** 当多面体  $P^n$  为 *flag* 时,  $i_*$  为单同态.

**证明:** 多面体  $P$  为 *flag* 的, 是指  $P$  中两两相交的 facets 必有公共的交. 即在上面分析中若  $F \cap F_i \neq \emptyset, F \cap F_j \neq \emptyset$ , 则  $F \cap F_i \cap F_j \neq \emptyset$ , 即任意  $F$  附近的余二维面  $f \subset Q$  对应的关系一定可以继承到  $M_F$  的基本群中. 这保证了下面定义的态射的合理性. 我们构造态射  $j_* : \pi_1(M_P) \rightarrow \pi_1(M_F)$ , 满足对任意  $x \in G - G_F, j_*(x) = 1$ . 下面我们考虑  $\pi_1(M_P)$  中关系文字在  $j_*$  下的像, 与  $F$  相交的 facets 集 (包含  $F$ ), 我们记为  $\mathcal{F}_F^1$ , 与  $\mathcal{F}_F^1$  中 facets 相交且不包含  $F$  的 facets 集, 我们记为  $\mathcal{F}_F^2$ , 剩余的 facets 我们记为  $\mathcal{F}_F^3$ . 对于  $Q$  中的任意余二维面  $f = F_i \cap F_j$ , 若  $F_i, F_j$  都属于  $\mathcal{F}_F^1$ , 由  $P$  的 *flag* 性质知  $f \cap F \neq \emptyset$ , 从而  $j_*$  将  $f \subset Q$  所对应的关系映为  $\pi_1(M_F)$  的一个关系; 若  $F_i, F_j$  都不属于  $\mathcal{F}_F^1$ , 则对应关系在  $j_*$  下的像为 1; 若  $F_i, F_j$  分别属于  $\mathcal{F}_F^1, \mathcal{F}_F^2$ , 不妨设  $F_i \subset \mathcal{F}_F^1, F_j \subset \mathcal{F}_F^2$ , 设这个关系为  $x_{i,l}x_{j,l(i)}x_{i,l(i)l(j)}x_{j,l(j)}$ , 则  $j_*(x_{i,l}x_{j,l(i)}x_{i,l(i)l(j)}x_{j,l(j)}) = j_*(x_{i,l})j_*(x_{j,l(i)})j_*(x_{i,l(i)l(j)})j_*(x_{j,l(j)}) = x_{i,l}x_{i,l(i)l(j)} = 1$ . 对于  $Q$  中的 facets pair, 它们同时属于或不属于  $\mathcal{F}_F^1$ , 所以  $\pi_1(M_P)$  中的配对关系, 在  $j_*$  像要么不变要么为 1. 所以对任意关系  $r \in \pi_1(M_P), j_*(r) \equiv 1$ , 即  $j_*$  为 well-defined. 进一步, 对任意 word  $w = \partial(x : x \in G_F) \in \pi_1(M_F)$ ,  $j_*i_*(w) = j_*i_*(\partial(x : x \in G_F)) = j_*(\partial(x : x \in G_F)) = \partial(x : x \in G_F) = w \in \pi_1(M_F)$ , 即  $j_*i_* = id : \pi_1(M_F) \rightarrow \pi_1(M_F)$ , 故  $i_*$  单.

事实上, 我们令  $\mathcal{F}_F^2 \cup \mathcal{F}_F^3$  中的 facets 染色都为  $\emptyset$ , 得到空间  $\widetilde{M_F} = P \times \mathbb{Z}_2^n / \sim$ , 与  $M_F$  是同伦等价的.

**命题 5.2** 当  $P$  为 *flag* 时,  $i_*: W_F \rightarrow W_P$  为单的.

证明: 若  $F \cap F_i \neq \emptyset, F \cap F_j \neq \emptyset$ , 则  $F \cap F_i \cap F_j \neq \emptyset$ , 即任意  $F$  附近的余二维面  $f \subset P$  对应的关系一定可以继承到  $W_P$  中.

考虑 pull back

$$\begin{array}{ccc} M_F & \xrightarrow{\alpha} & M_P \\ \pi_F \downarrow & & \downarrow \pi_P \\ F & \xrightarrow{i} & P \end{array}$$

则

$$\begin{array}{ccc} \pi_1(M_F) & \xrightarrow{\alpha_*} & \pi_1(M_P) \\ \pi_* \downarrow & & \downarrow \pi_* \\ W_F & \xrightarrow{i_*} & W_P \end{array}$$

为可交换的.

所以当  $P$  为 *flag* 时,  $i_*$  为单的, 所以  $i_*\pi_* = \pi_*\alpha_*$  为单的, 从而  $\alpha_*$  为单的. 这里的  $F_*$  即为面包含映射  $i$  所诱导的基本群同态.

### 5.3 Else

## 6 Appendix

### 6.1 Group Actions and Transformation Groups

一个拓扑群  $G$  在空间  $X$  上的作用是指一个连续映射  $G \times X \rightarrow X$ ,  $(g, x) \mapsto gx$ , 使得  $g(hx) = (gh)x$ ,  $1x = x$ . 对任意  $x \in X$ , 我们定义  $x$  的 *isotropy subgroup* 为  $G_x = \{g \in G : gx = x\}$ . 称一个群作用为 *free*, 若  $G_x = \{1\}, \forall x \in X$ . 定义  $x$  的 *orbit* 为集合  $G(x) = \{gx \in X : g \in G\}$ . 称一个群作用为 *transitive*, 若  $G(x) = X$ . 我们构造 *orbit space*  $X/G = X/\sim$ , 其中  $x \sim y \iff y = gx, \forall x, y \in X; g \in G$ . 我们称映射  $X \rightarrow X/G$  为 *orbit map*.

## 6.2 Orbifold

$X$  上的一个  $n$  维 *orbifold chart* 是指一个三元组  $(U, G, \pi)$ , 其中  $U$  为  $\mathbb{R}^n$  中的开集,  $G$  为  $U$  的一个有限同胚群,  $\pi : U \rightarrow X$  定义为 orbit map  $p : U \rightarrow U/G$  和  $\tilde{\pi} : U/G \rightarrow X$  的复合,  $\tilde{\pi}$  诱导  $U/G$  与  $X$  中的开集  $V$  同胚.

称  $\alpha : (U_1, G_1, \pi_1) \rightarrow (U_2, G_2, \pi_2)$  为两个 orbifold 之间的 *embedding*, 若  $\alpha : U_1 \rightarrow U_2$  为光滑嵌入, 使得  $\pi_2 \circ \alpha = \pi_1$ .

设  $(U_i, G_i, \pi_i), i = 1, 2$  为  $X$  上的两个 orbifold chart,  $V_i = \pi_i(U_i)$ , 我们称这两个 orbifold chart 为 *compatible*, 若对任意点  $x \in V_1 \cap V_2$  存在  $x$  的一个开邻域  $V_0 \subset V_1 \cap V_2$  和一个 orbifold chart  $(U_0, G_0, \pi_0)$ , 满足  $\pi_0(U_0) = V_0$ , 且存在两个嵌入  $\alpha_i : (U_0, G_0, \pi_0) \rightarrow (U_i, G_i, \pi_i)$ .

我们  $\mathcal{U} = \{(U_i, G_i, \pi_i)\}_{i \in I}$  为  $X$  上的一个  $n$  维 *orbifold atlas*, 若它们是两两兼容的且覆盖  $X$ .

一个  $n$  维的 *orbifold*  $\mathcal{O}$  由一个 Hausdorff 拓扑空间  $X_{\mathcal{O}}$ , 称为 *underlying space*, 和  $X_{\mathcal{O}}$  上的一个 orbifold atlas  $\mathcal{U}_{\mathcal{O}}$  组成, 我们记为  $\mathcal{O} = (X_{\mathcal{O}}, \mathcal{U}_{\mathcal{O}})$

对任意  $x \in \mathcal{O}$ , 设  $G_x$  为对应点  $x$  的 isotopy group. 称几何  $\Sigma_{\mathcal{O}} = \{x \in X | G_x \neq \{1\}\}$  为  $\mathcal{O}$  的 *singular locus*.

例: 流形为 orbifold, 其中  $G_i$  为平凡群. 且当  $\Sigma_{\mathcal{O}} = \emptyset$  时, orbifold 为 manifold.

设  $\mathcal{O}_1 = (X_{\mathcal{O}_1}, \mathcal{U}_{\mathcal{O}_1}), \mathcal{O}_2 = (X_{\mathcal{O}_2}, \mathcal{U}_{\mathcal{O}_2})$  为两个 orbifold, 称  $f : \mathcal{O}_1 \rightarrow \mathcal{O}_2$  为 *orbifolds smooth map*, 若  $\forall x \in X$ , 存在  $x$  附近的 orbifold chart  $(U_1, G_1, \pi_1)$  和  $f(x)$  附近的 orbifold chart  $(U_2, G_2, \pi_2)$ , 使得  $f$  将  $\pi_1(U_1)$  映为  $\pi_2(U_2)$ , 且  $f$  可以提升为  $\tilde{f} : U_1 \rightarrow U_2$  满足  $\pi_2 \tilde{f} = f \pi_1$ .

## 6.3 Covering Oribifold

称 orbifold  $\tilde{\mathcal{O}}$  为 orbifold  $\mathcal{O}$  的 *covering orbifold*, 若有投射  $p : X_{\tilde{\mathcal{O}}} \rightarrow X_{\mathcal{O}}$  满足下面条件:

- 1、对任意点  $x \in X_{\mathcal{O}}$ , 存在  $x$  的邻域  $V = \pi(U)$ , 对于  $p^{-1}(V)$  中的任意一个分支  $W_i$  都同胚于  $U/G_i$ , 其中  $(U, G, \pi)$  为 orbifold  $\mathcal{O}$  的 orbifold chart,  $G_i$  为群  $G$  的某个子群.
- 2、设  $\beta_i : U/G_i \rightarrow W_i$  为上面的同胚,  $\pi_i : U \rightarrow U/G_i$  为商映射, 则一定有  $\pi = p \circ (\beta \circ \pi_i)$

一个 orbifold 称为 *good*, 若如果它存在流形 covering orbifold. 否则称为 *bad*.

**命题 6.1** 任何 orbifold  $\mathcal{O}$  都存在 universal cover  $\tilde{\mathcal{O}}$ .

任取  $\mathcal{O}$  的基点  $x_0$ ,  $p: \tilde{\mathcal{O}} \rightarrow \mathcal{O}$  为连通 covering orbifold, 基点为  $y_0$  ( $p$  为投射且  $p(y_0) = x_0$ ), 使得对任意 covering orbifold  $p': \tilde{\mathcal{O}}' \rightarrow \mathcal{O}$ , 基点为  $y'_0$ ,  $p'(y'_0) = x_0$ , 则存在  $p$  提升  $q: \tilde{\mathcal{O}} \rightarrow \tilde{\mathcal{O}}'$ , 使得  $p = p' \circ q$ .

一个 orbifold  $\mathcal{O}$  的基本群定义为它对 universal cover  $\tilde{\mathcal{O}}$  的 deck transformations group.

一个带边 orbifold 是指一个拓扑空间局部等同  $\mathcal{R}^n/G$  或  $\mathcal{R}_+^n/G$ , 其中  $G$  为有限群.

一个  $n$  维 orbifold  $\mathcal{O}_1$  的 suborbifold  $\mathcal{O}_2$  是指,  $X_{\mathcal{O}_2} \subset X_{\mathcal{O}_1}$  为子空间, 且局部等同于  $\mathcal{R}^k/G$ , 其中  $G$  为有限群.

特别得, 我们称  $\mathcal{O}$  为 *right-angle Coxeter orbifold*, 若它局部等同  $\mathcal{R}^n/\mathbb{Z}_2^n$

## 6.4 Covering Space

## 6.5 Reidemeister - Schreier program

## 6.6 一个比较复杂的例子

这里我们利用本文的算法来计算一个三维单凸多面体  $P^3 = I^3 \# \Delta^3$